

## 海藻 MGMG 型甘油糖脂的研究

王梦雪，蒋盈，詹娜，何美佳，刘红兵\*

中国海洋大学医药学院，青岛海洋科学与技术国家实验室海洋药物与生物制品功能实验室，山东 青岛 266003

**摘要：**目的 鉴定中药海藻（羊栖菜 *Sargassum fusiforme*）中的单半乳糖基单酰基甘油酯（monogalactosylmonoacylglycerol, MGMG），分析 *sn*-1 型和 *sn*-2 型位置异构体的化学特征。方法 利用多种色谱手段分离得到 MGMG，采用 NMR、HR-ESI-MS 等谱学方法鉴定结构，采用 HPLC、HPLC-ESI-MS/MS 分析位置异构体的互变及其色谱-质谱特征。结果 分离到并鉴定 5 个 MGMG，酰基分别为十八碳四烯酰基、十八碳三烯酰基、二十碳四烯酰基、十八碳二烯酰基和十八碳单烯酰基；*sn*-1 型和 *sn*-2 型 MGMG 单体均不稳定，会相互迅速转变直至 *sn*-1 型为主（相对峰面积 85:15）的平衡状态。*sn*-2 型在反相色谱柱上的保留时间较 *sn*-1 型小，先被洗脱；两者二级质谱碎片离子丰度有较大差异，以  $[M+Na-Gal]^+$  为基峰（100%），*sn*-2 型的  $[M+Na-RCOOH]^+$  丰度 >50%，*sn*-1 型的  $[M+Na-RCOOH]^+$  丰度 <20%。结论 首次从褐藻门中分离鉴定上述 5 个 MGMG，阐明了 *sn*-1 型和 *sn*-2 型 MGMG 之间的互变过程，首次报道这 2 种位置异构体的色谱-质谱特征，可用于 MGMG 类化合物酰基取代位置的鉴定。

**关键词：**海藻；羊栖菜；单半乳糖基单酰基甘油酯；甘油糖脂；结构鉴定；位置异构

**中图分类号：**R284.1      **文献标志码：**A      **文章编号：**0253-2670(2017)21-4398-05

**DOI:** 10.7501/j.issn.0253-2670.2017.21.006

## Study on monogalactosylmonoacylglycerol in marine algae (*Sargassum fusiforme*)

WANG Meng-xue, JIANG Ying, ZHAN Na, HE Mei-jia, LIU Hong-bing

Laboratory for Marine Drugs and Bioproducts of Qingdao, National Laboratory for Marine Science and Technology, School of Medicine and Pharmacy, Ocean University of China, Qingdao 266003, China

**Abstract: Objective** To identify monogalactosylmonoacylglycerol (MGMG) and analyze the chemical characteristics of *sn*-1 and *sn*-2 type isomers in Marine TCM *Sargassum fusiforme*. **Methods** The MGMG compounds were isolated by multiple chromatography methods and their structures were determined by spectroscopic methods such as NMR and HRESI-MS. The interconversion and chromatography-mass spectrometry feature of MGMG positional isomers were analyzed through HPLC and HPLC-ESI-MS/MS.

**Results** Five MGMGs were isolated from *Sargassum fusiforme*, and the fatty acyl compositions were stearidonoyl, linolenoyl, arachidoyl, linoleyl, and oleyl. The *sn*-1 and *sn*-2 type of MGMG were unstable. The interconversion tended to be *sn*-1 type rapidly, and kept balanced content at 85:15. The relative retention time of *sn*-2 type was less than *sn*-1 type on C<sub>18</sub> reverse phase chromatography. The abundant fragment ions of MS/MS were significantly differences. The base peak was  $[M+Na-Gal]^+$  (100%), and the peak intensity of  $[M+Na-RCOOH]^+$  was always more than 50% from *sn*-2 type while less than 20% from *sn*-1 type. **Conclusion** Five MGMGs were isolated from brown algae for the first time. This was the first report about the interconversion and chromatography-mass spectrometry feature of *sn*-1 and *sn*-2 type. It can use to determine the fatty acyl attachment in each MGMG.

**Key words:** marine algae; *Sargassum fusiforme* (Harvey.) Setchell; monogalactosylmonoacylglycerol (MGMG); glyceroglycolipid; structure identification; positional isomers

单半乳糖基单酰基甘油酯（monogalactosy-1 monoacylglycerol，MGMG）是甘油糖脂（glyceroglycolipid）的一种，具有抗菌<sup>[1]</sup>、抗肿瘤<sup>[2]</sup>、抗炎<sup>[3]</sup>、抗血小板凝集<sup>[4]</sup>、抑制脂质蓄积<sup>[5]</sup>等作用。

根据酰基在甘油骨架上的取代位置，MGMG 有 *sn*-1 型和 *sn*-2 型 2 种位置异构体（图 1）。已有研究表明，已知天然 MGMGs 基本为 *sn*-1 型<sup>[1-9]</sup>，仅 Al-Fadhli 等<sup>[10]</sup>和 Luyen 等<sup>[5]</sup>分离到 *sn*-2 型。目前，尚未见有

收稿日期：2017-05-10

基金项目：国家自然科学基金资助项目（31271845）；青岛海洋科学与技术国家实验室鳌山科技创新计划项目（2015ASKJ02）

作者简介：王梦雪（1992—），女，在读硕士，研究方向为海洋中药。E-mail: mengxue92@163.com

\*通信作者 刘红兵（1971—），女，教授。Tel: (0532)82031823 E-mail: liuhongb@ouc.edu.cn

*sn-1* 型和 *sn-2* 型单体化合物稳定性、色谱-质谱特征的研究。

羊栖菜 *Sargassum fusiforme* (Harvey.) Setchell 是中药海藻的传统正品基原植物，富含甘油糖脂类成分，但未见对 MGMG 的化学和生物活性研究的报道。本研究从羊栖菜中分离鉴定 MGMG，弄清 *sn-1*/*sn-2* 型位置异构体的转变过程，比较两者色谱-二级质谱特征，为阐明海藻化学成分提供科学依据。

## 1 仪器与材料

Agilent-DD2-500 型核磁共振仪（美国 Agilent 公司，TMS 为内标）；Agilent 1290 型高效液相色谱仪（美国 Agilent 公司），LTQ Orbitrap XL 型高分辨质谱仪（美国 Thermo Fisher 公司）；LC-6AD 高效液相色谱仪（日本岛津公司，配 SCL-10AV 系统控制器，SPD-M20AVP 检测器，YMC C<sub>18</sub> 柱：250 mm×10 mm, 5 μm）；Agilent 1100 高效液相色谱仪[美国 Agilent 公司，YMC C<sub>18</sub> 柱（250 mm×4.6 mm, 5 μm）]。Sephadex LH-20 (Pharmacia 公司)；硅胶 H (10~40 μm, 青岛海洋化工厂)。液相用甲醇为美国 Honeywell 公司色谱纯；实验用水为超纯水；其他常用有机溶剂均为国产分析纯。

海藻采于浙江温州洞头县，经中国海洋大学医药学院刘红兵教授鉴定为马尾藻科植物羊栖菜 *Sargassum fusiforme* (Harvey.) Setchell 的干燥藻体。标本 (YXC201409) 存放于中国海洋大学医药学院海洋中药研究室。

## 2 方法

### 2.1 提取与分离

取海藻干燥藻体，用 75% 乙醇提取，得乙醇浸膏。将该浸膏在水和醋酸乙酯中分配，得醋酸乙酯提取物。从醋酸乙酯提取物中，经反复正相硅胶柱色谱、Sephadex LH-20 柱色谱，得 TLC 检查为单一斑点(3 种展开体系)的 MGMG 型甘油糖脂混合物 SFMM；SFMM 经半制备 HPLC 分离，甲醇-水(84:16)洗脱，体积流量 4.0 mL/min，检测波长 210 nm，得化合物 **1** (*t<sub>R</sub>*=9.4 min)、**2** (*t<sub>R</sub>*=10.3 min)、**3** (*t<sub>R</sub>*=11.8 min)、**4** (*t<sub>R</sub>*=13.1 min)、**5** (*t<sub>R</sub>*=16.9 min)、**6** (*t<sub>R</sub>*=17.5 min) 和 **7** (*t<sub>R</sub>*=25.1 min)。化合物 **1**~**7** 结构见图 1。

### 2.2 HPLC-ESI-MS/MS 条件

**2.2.1** 色谱条件 色谱柱为 YMC-Pack ODS-A C<sub>18</sub> 分析柱 (250 mm×4.6 mm, 5 μm)，柱温 30 °C，流动相甲醇-水 (84:16)，体积流量 1.0 mL/min，

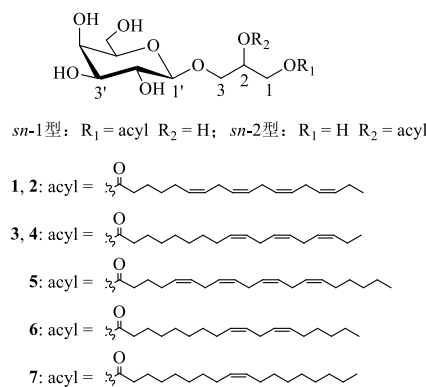


图 1 7 个 MGMGs (1~7) 的结构式

Fig. 1 Structures of seven MGMGs (1—7)

进样量 10 μL，检测波长 210 nm。

**2.2.2** 质谱条件 电喷雾离子源，正离子检测模式，喷雾电压 3.70 kV，鞘气体积流量 40 psi (1 psi=6.895 kPa)，毛细管温度 325.00 °C，二级质谱采用高能诱导裂解模式 (HCD)。

## 3 结果与分析

### 3.1 化合物的结构鉴定

化合物 **1**: 白色固体。HR-ESI-MS 数据见表 1，结合核磁数据，确定分子式为 C<sub>27</sub>H<sub>44</sub>O<sub>9</sub>。<sup>1</sup>H- 和 <sup>13</sup>C-NMR 谱显示典型的 MGMG 特征信号峰，但均包含 2 组数据 (表 2)，提示可能是 *sn-1* 型和 *sn-2* 型 MGMG 混合物。经与文献报道比对<sup>[11]</sup>，结合质谱数据，鉴定 **1** 为 1-*O*-十八碳四烯酰基-3-*O*-*D*-吡喃半乳糖基甘油 (*sn-1* 型) 和 2-*O*-十八碳四烯酰基-3-*O*-*D*-吡喃半乳糖基甘油 (*sn-2* 型) 的混合物。

化合物 **2**: 白色固体。HR-ESI-MS 数据见表 1，确定分子式为 C<sub>27</sub>H<sub>44</sub>O<sub>9</sub>，酰基组成为十八碳四烯酰基 (18:4)，与 **1** 相同。怀疑单体不稳定，故在 HPLC 制备后立即测试 NMR 谱。经与 **1** 比较，鉴定 **2** 是与 **1** 组成相同的混合物，主要含有 1-*O*-十八碳四烯酰基-3-*O*-*D*-吡喃半乳糖基甘油 (*sn-1* 型)。

同上，鉴定 **3**~**7** 是单半乳糖基单酰基甘油酯，酰基组成为十八碳三烯酰基 (**3** 和 **4** 相同)、二十碳四烯酰基 (**5**)、十八碳二烯酰基 (**6**) 和十八碳单烯酰基 (**7**)，均为 *sn-1* 型和 *sn-2* 型的混合物。以往报道的 MGMG 通常为 *sn-1* 型或 *sn-2* 型单体<sup>[1~10]</sup>，实际上是混合物。本实验首次以天然 MGMG 为混合物的形式报道。

### 3.2 MGMG 2 种位置异构体 *sn-1* 型与 *sn-2* 型的互变反应

以上结果提示，在分到 MGMG 单体以后 (例

表 1 化合物 1~7 的 HR-ESI-MS 数据  
Table 1 HR-ESI-MS data of compounds 1—7

MGMG	[M+Na] <sup>+</sup> ( <i>m/z</i> )		[M+NH <sub>4</sub> ] <sup>+</sup> ( <i>m/z</i> )		相对分子质量	酰基组成
	实测值	计算值	实测值	计算值		
1	535.288 0	535.287 8	530.332 9	530.332 4	C <sub>27</sub> H <sub>44</sub> O <sub>9</sub>	18:4
2	535.287 7	535.287 8	530.333 3	530.332 4	C <sub>27</sub> H <sub>44</sub> O <sub>9</sub>	18:4
3	537.303 6	537.303 4	532.349 0	532.348 0	C <sub>27</sub> H <sub>46</sub> O <sub>9</sub>	18:3
4	537.303 1	537.303 4	532.348 4	532.348 0	C <sub>27</sub> H <sub>46</sub> O <sub>9</sub>	18:3
5	563.319 6	563.319 1	558.364 4	558.363 7	C <sub>29</sub> H <sub>48</sub> O <sub>9</sub>	20:4
6	539.318 7	539.319 1	534.364 5	534.363 7	C <sub>27</sub> H <sub>48</sub> O <sub>9</sub>	18:2
7	541.333 8	541.334 7	536.379 8	536.379 3	C <sub>27</sub> H <sub>50</sub> O <sub>9</sub>	18:1

表 2 化合物 1 的 <sup>1</sup>H-NMR 和 <sup>13</sup>C-NMR 数据 (500/125 MHz, CD<sub>3</sub>OD)  
Table 2 <sup>1</sup>H-NMR and <sup>13</sup>C-NMR spectral data of compound 1 (500/125 MHz, CD<sub>3</sub>OD)

碳位	$\delta_{\text{C}}$		$\delta_{\text{H}}$		酰基组成
	sn-1 型	sn-2 型	sn-1 型	sn-2 型	
1	66.6 (t)	61.7 (t)	4.16 (2H, brd, <i>J</i> =2.0 Hz)	3.74 (1H, m), 3.99 (1H, m)	18:4
2	69.6 (d)	74.7 (d)	3.99 (1H, m)	5.05 (1H, m)	18:4
3	71.9 (t)	68.8 (t)	3.66 (1H, dd, <i>J</i> =10.8, 4.5 Hz) 3.91 (1H, dd, <i>J</i> =10.8, 5.3 Hz)	3.91 (1H, dd, <i>J</i> =10.8, 5.3 Hz) 3.74 (1H, m)	18:3
1'	105.3 (d)	105.3 (d)	4.23 (1H, d, <i>J</i> =7.2 Hz)	4.23 (1H, d, <i>J</i> =7.2 Hz)	18:4
2'	72.5 (d)	72.4 (d)	3.51 (1H, m)	3.51 (1H, m)	18:4
3'	74.9 (d)	74.8 (d)	3.51 (1H, m)	3.51 (1H, m)	18:3
4'	70.3 (d)	70.3 (d)	3.83 (1H, brs)	3.83 (1H, brs)	18:3
5'	76.8 (d)	76.8 (d)	3.51 (1H, m)	3.51 (1H, m)	18:2
6'	62.5 (t)	62.5 (t)	3.74 (2H, m)	3.74 (2H, m)	18:1

如 1 和 2、3 和 4)，酰基可能会在 C-1 位与 C-2 位迅速转移，最终生成 sn-1 型与 sn-2 型混合物。从理论上讲，这种互变过程是可能的（图 2），由于 sn-1 型 MGMG 更稳定，因此最终更偏向于生成该结构。为证实推测，取 30 mg SFMM 再次拆分，收集 *t<sub>R</sub>*=9.4 min (1) 和 *t<sub>R</sub>*=10.3 min (2) 洗脱液，低温减压浓缩后于 4 °C 避光放置，分别在 1 d、1 周、2 周、4 周和 6 周后进行 HPLC-DAD 分析。结果表明(图 3)，确实存在 MGMG 2 种位置异构体 sn-1/sn-2 型的互相迅速转变现象，1 周后可达平衡至两者相对峰面积为

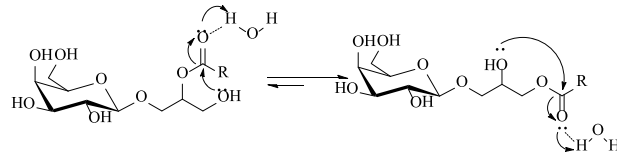


图 2 sn-1/sn-2 型 MGMG 互变的电子转移示意图

Fig. 2 Electron transfer mechanism between sn-1 and sn-2 MGMG isomers

85:15。检查制备 2 周后的 3~7, sn-1/sn-2 型相对峰面积均约为 85:15，与上述结果一致（表 3）。

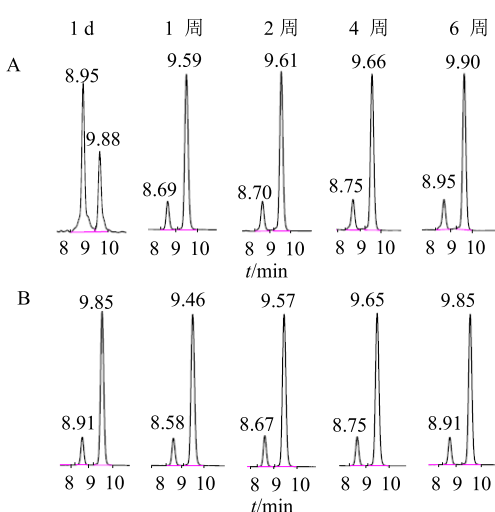


图 3 放置不同时间后的化合物 1 (A) 和 2 (B) 的 HPLC 图  
Fig. 3 HPLC analysis of 1 (A) and 2 (B) at different time

表3 化合物1~7的HPLC-ESI-MS/MS数据  
Table 3 HPLC-ESI-MS/MS analysis of compounds 1—7

编号	峰号	HPLC		MS ( $[M+Na]^+$ )	MS/MS		MGMG类型
		$t_R/min$	相对峰面积/%		$[M+Na-Gal]^+$	$[M+Na-RCOOH]^+$	
<b>1</b>	I	8.4	15.4	535	373	259	100:50 sn-2
	II	9.2	84.6	535	373	259	100:9 sn-1
<b>2</b>	I	8.4	15.3	535	373	259	100:53 sn-2
	II	9.2	84.7	535	373	259	100:10 sn-1
<b>3</b>	I	10.7	15.6	537	375	259	100:63 sn-2
	II	11.9	84.4	537	375	259	100:12 sn-1
<b>4</b>	I	10.7	14.7	537	375	259	100:57 sn-2
	II	11.9	85.3	537	375	259	100:13 sn-1
<b>5</b>	I	14.1	14.3	563	401	259	100:53 sn-2
	II	15.7	85.7	563	401	259	100:11 sn-1
<b>6</b>	I	14.3	15.7	539	377	259	100:83 sn-2
	II	16.1	84.3	539	377	259	100:13 sn-1
<b>7</b>	I	20.7	14.4	541	379	259	100:99 sn-2
	II	23.5	85.6	541	379	259	100:17 sn-1

### 3.3 MGMG 2种位置异构体sn-1与sn-2型的二级质谱特征

利用HPLC-ESI-MS/MS分析存放2周后的1~7。以1为例, BPC图给出2个峰(图4-a),两者

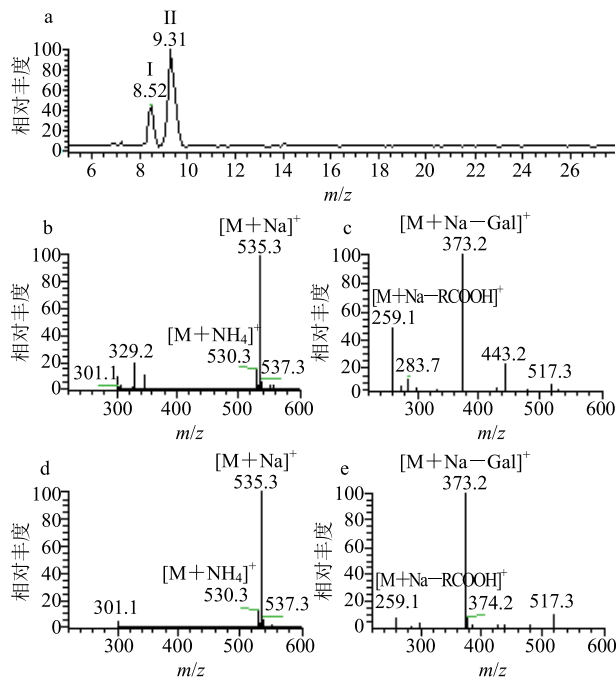


图4 化合物1的HPLC-ESI-MS/MS图谱  
Fig. 4 HPLC-ESI-MS/MS spectrum of compound 1

一级质谱均给出准分子离子 $[M+Na]^+$ 峰 $m/z$  535(图4-b、d); 二级质谱HCD模式下,  $[M+Na]^+$ 峰发生裂解, 分别丢失糖基或是酰基, 生成2个碎片离子 $[M+Na-Gal]^+$ 和 $[M+Na-RCOOH]^+$ 。 $[M+Na-Gal]^+$ 的丰度均为100%, 但 $[M+Na-RCOOH]^+$ 的丰度在sn-2型(峰I)与sn-1型(峰II)中不同, 前者是50%(图4-c), 后者是9%(图4-e)。**2~7**给出基本相同的二级质谱特征(表3), 即 $[M+Na-Gal]^+$ 为基峰(100%), sn-2型的 $[M+Na-RCOOH]^+$ 丰度>50%, sn-1型的 $[M+Na-RCOOH]^+$ 丰度<20%。

### 4 讨论

本实验首次从中药海藻(羊栖菜)中分到并鉴定5个MGMG, 酰基组成为十八碳四烯酰基、十八碳三烯酰基、二十碳四烯酰基、十八碳二烯酰基和十八碳单烯酰基。以上MGMG均以sn-1型和sn-2型的混合物形式存在, 这是由于这2种位置异构体在溶液状态下会发生电子转移, 相互迅即转变直至sn-1型为主(相对峰面积85:15)的平衡状态。RP-HPLC-MS/MS分析得到sn-1型和sn-2型MGMG的色谱-质谱特征, 即: sn-2型MGMG在反相色谱柱上的保留时间较sn-1型小, 先被洗脱; 两者二级质谱碎片离子丰度有较大差异, 以 $[M+Na-Gal]^+$ 为基峰(100%), sn-2型的 $[M+Na-RCOOH]^+$ 丰度>50%, sn-1型的 $[M+Na-RCOOH]^+$ 丰度<20%。

RCOOH]<sup>+</sup> 丰度<20%，可用于MGMG类化合物酰基取代位置的鉴定。

#### 参考文献

- [1] 彭燕, 黄日明, 郑建仙, 等. 中华疣海星的化学成分及其抗菌活性研究 [J]. 中草药, 2012, 43(10): 1913-1915.
- [2] Pettit G R, Bond T J, Herald D L, et al. Isolation and structure of spongilipid from the republic of Singapore marine *Porifera Spongia cf. Hispida* [J]. *Canadian J Chem*, 1997, 75(6): 920-925.
- [3] Cateni F, Falsone G, Zilic J, et al. Glyceroglycolipids from *Euphorbia nicaeensis* All. with antiinflammatory activity [J]. *Arkivoc*, 2004, 37(3): 54-65.
- [4] Rho M C, Matsunaga K, Yasuda K, et al. A novel monogalactosylacylglycerol with inhibitory effect on platelet aggregation from the cyanophyceae *Oscillatoria rosea* [J]. *J Nat Prod*, 1996, 59(3): 308-309.
- [5] Luyen B T T, Thao N P, Tai B H, et al. Chemical constituents of *Triticum aestivum* and their effects on adipogenic differentiation of 3T3-L1 preadipocytes [J]. *Arch Pharm Res*, 2015, 38(6): 1011-1018.
- [6] 彭燕, 刘永宏. 黄海海燕的化学成分研究 [J]. 中国药学杂志, 2011, 46(24): 1883-1885.
- [7] Fang Z, Yang J S, Ah J H, et al. Capsofulvesins A-C, cholinesterase inhibitors from *Capsosiphon fulvescens* [J]. *Chem Pharm Bull*, 2012, 60(11): 1351-1358.
- [8] Hiraga Y, Shikano T, Widianti T, et al. Three new glycolipids with cytolytic activity from cultured marine dinoflagellate *Heterocapsa circularisquama* [J]. *Nat Prod Res*, 2008, 22(8): 649-657.
- [9] 王广树, 王凌燕, 杨晓虹, 等. 石蒜科植物朱顶红中非生物碱类成分的研究 [J]. 中国药学杂志, 2006, 43(18): 1374-1375.
- [10] Al-Fadhli A, Wahidulla S, D'Souza L. Glycolipids from the red alga *Chondria armata* (Kütz.) Okamura [J]. *Glycobiology*, 2006, 16(10): 902-915.
- [11] Murakami N, Morimoto T, Immura H, et al. Enzymatic transformation of glyceroglycolipids into *sn*-1 and *sn*-2 lysoglyceroglycolipids by use of *Rhizopus arrhizus* Lipase [J]. *Tetrahedron*, 1994, 50(7): 1993-2002.